

# ИЗВЕСТИЯ

ТОМСКОГО ОРДЕНА ТРУДОВОГО КРАСНОГО ЗНАМЕНИ ПОЛИТЕХНИЧЕСКОГО  
ИНСТИТУТА имени С. М. КИРОВА

Том 138

1965

## КИНЕТИЧЕСКОЕ УРАВНЕНИЕ НАКОПЛЕНИЯ *F*-ЦЕНТРОВ В ЩЕЛОЧНО-ГАЛОИДНЫХ МОНОКРИСТАЛЛАХ ПРИ ОБЛУЧЕНИИ ИХ ПРОТОНАМИ

Д. И. ВАЙСБУРД, И. Я. МЕЛИК-ГАЙКАЗЯН

(Представлена научным семинаром проблемной лаборатории ЭДИП)

На основании современных представлений о механизме образования вакансий в щелочно-галоидных кристаллах под действием излучения [2], о моделях дырочных и электронных центров окраски [3, 4] можно считать, что в основе процесса радиационного повреждения щелочно-галоидных кристаллов лежит нарушение ионной химической связи вследствие ионизации ионов галогенов и смещения ионов и атомов щелочных металлов и галогенов из узлов решетки. Если ионизация ионов щелочного металла увеличивает гетерополярность решетки, то ионизация ионов галогенов резко уменьшает гетерополярность — основное условие существования ионной химической связи. При радиационном нарушении ионной связи возникают центры окраски. Дырочные центры окраски представляют дырки, локализованные на молекулярных ионах, состоящих из двух и более атомов (ионов) галогенов, один из которых может находиться в междоузлии [3].

Устойчивость дырочного центра возрастает, если он связан с дефектами кристаллической решетки: вакансиями, ионами примесей и др. Можно заметить в электронных центрах окраски черты металлической связи. *F*-центр есть электрон в анионной вакансии, обобществленный между шестью окружающими ионами щелочного металла. *M*-, *R*- и предположительно *N*-центры есть соответственно  $F_2^-$ ,  $F_3^-$  и  $F_4^-$  коагуляты *F*-центров [4].

Образование, коагуляцию, накопление дырочных и электронных центров окраски можно рассматривать как процесс «зарождения» и развития ковалентных и металлических образований в ионном кристалле. При синтезе щелочно-галоидного кристалла из щелочного металла и галогена образуется чисто ионное соединение и выделяется энергия образования. Можно предположить, что под действием излучения происходит обратный процесс нарушения ионной химической связи и радиолиза щелочно-галоидного кристалла на металл и галоген, которые «зарождаются» в виде электронных и дырочных центров окраски, затем укрупняются до фазы. Указанный процесс сопровождается запасением энергии.

В настоящей работе исследовалась кинетика накопления *F*-, *M*- и *R*-центров в щелочно-галоидных монокристаллах под действием облучения протонами с энергией 5 мэв при комнатной температуре. В каче-

стве источника излучения был использован циклотрон, который позволяет в месте расположения образца получать высокие интенсивности излучения и варьировать их в широких пределах. В наших экспериментах интенсивность варьировалась от  $10^4$  до  $10^6$  эрг/см<sup>2</sup> сек.

Глубина проникновения протонов определялась по толщине окрашенного слоя и составляла для кристаллов различного химического состава (м.  $10^{-6}$ ).

LiF	NaCl	KCl	NaBr	KBr	RbCl	KI
190	260	292	212	254	255	242

Данные по положению и полуширине *F*- и *M*-полос поглощения сведены в табл. 1.

Таблица 1  
Положение максимума и полуширина *F* и *M* полос поглощения  
в щелочно-галоидных монокристаллах, облученных протонами при 300°К

Химический состав	<i>F</i> -полоса		<i>M</i> -полоса	
	положение $m\mu/\text{эв}$	полуширина $\text{эв}$	положение $m\mu/\text{эв}$	полуширина $\text{эв}$
<i>LiF</i>	249 4,97	0,785	445 2,78	0,18
<i>NaCl</i>	462 2,68	0,49	728 1,70	9,16
<i>NaBr</i>	538 2,30	0,51	833 1,50	0,13
<i>KCl</i>	558 2,24	0,34	831 1,50	0,12
<i>KBr</i>	628 1,97	0,38	920 1,345	0,11
<i>KI</i>	685 1,81	0,51	1035 1,20	0,08

Несмотря на то, что форма кинетических кривых накопления центров изменялась с изменением химического состава кристаллов и интенсивности излучения (рис. 1, 2), в большинстве случаев оказалось возможным описать кинетику накопления *F*-центров на первой стадии и линейном участке второй стадии уравнением, предложенным в работе (5)

$$n_F = n^* [1 - \exp(-b^* t)] + a^* t - (a^*/c^* - n')[1 - \exp(-c^* t)], \quad (1)$$

где  $n_F$  — концентрация *F*-центров;  $t$  — время облучения;

$$n^* = \frac{n_0 b}{b + a}, \quad (2)$$

$n_0$  — концентрация тепловых вакансий, имевшихся в кристалле до облучения и дисперсно распределенных по объему кристалла;  $b$  — скорость захвата электронов тепловыми вакансиями;  $a$  — относительная скорость радиационного обесцвечивания *F*-центров, образованных из тепловых вакансий;  $b^* = b + a$ ;

$$a^* = \frac{ac}{c + \beta}, \quad (3)$$

$a$  — скорость накопления радиационных вакансий, то есть генерируемых излучением;  $c$  — скорость захвата электронов радиационными вакансиями.

кансиеми;  $\beta$  — относительная скорость радиационного обесцвечивания  $F$ -центров, образованных из радиационных вакансий;  $c^* = c + \beta$ .

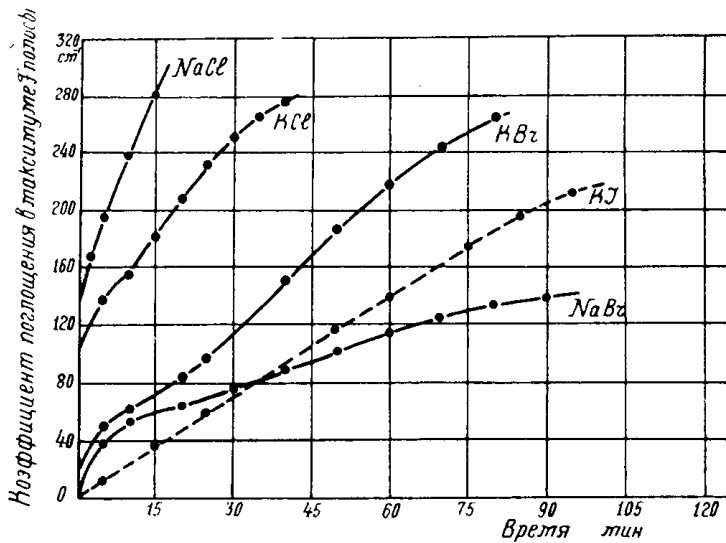


Рис. 1. Кинетические кривые накопления  $F$ -центров в щелочно-галоидных монокристаллах при облучении протонами с энергией 5 МэВ.

Концентрация  $F$ -центров, достигаемая в результате первой стадии, для ряда исследованных щелочно-галоидных монокристаллов, удовлетворительно коррелирует со средней энергией возбуждения и иони-

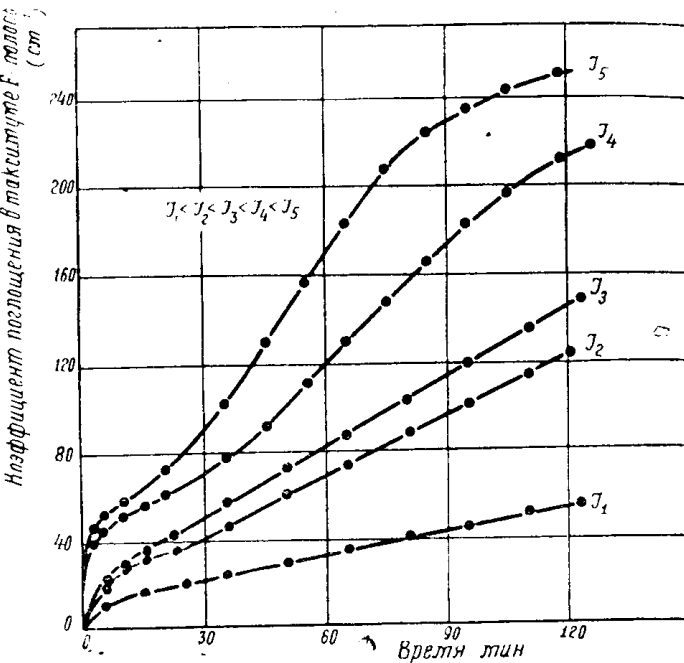


Рис. 2. Кинетические кривые накопления  $F$ -центров в монокристаллах КBr при облучении протонным пучком различной интенсивности ( $J$ ).

зации (рис. 1). Наблюдаемое соотношение можно объяснить, если учесть, что: 1) большую часть своей энергии протоны теряют на иони-

зацию и возбуждение; 2) пространственное распределение энергетических потерь на ионизацию и возбуждение не одинаково: энергия ионизации распределяется дисперсно по кристаллу, энергия возбуждения выделяется главным образом на дефектах — ловушках экситонов; 3) если предположить, что за образование  $F$ -центров на первой стадии ответственен в основном процесс ионизации, а за радиационное обесцвечивание  $F$ -центров ответственны экситоны, выделяющие энергию на  $F$ -центратах; 4) с увеличением средней энергии возбуждения и ионизации по ряду кристаллов происходит перераспределение энергетических потерь заряженных частиц за счет увеличения доли потерь на возбуждение и уменьшения доли потерь на ионизацию. Тогда степень преобладания прямого процесса образования  $F$ -центров над обратным будет уменьшаться с увеличением средней энергии возбуждения и ионизации. Характерно, что в кинетике накопления  $F$ -центров в кристалле KI практически отсутствует первая стадия, т. е. образование  $F$ -центров из тепловых вакансий не преобладает над их разрушением.

Если к уравнению (3), записанному для двух интенсивностей излучения  $I_1$  и  $I_2$ , присоединить экспериментально полученное соотношение  $a \sim I$  [6] и учесть, что  $c \sim I$  [5, 6], то получим:

$$a_2^*/a_2 = \frac{I_{21}^2 - I_{21}^{\delta_{21}}}{I_{21}(I_{21}-1)}; \quad (4)$$

$$\frac{a_2^*/a_2^*}{a_1/a_1^*} = I_{21}^{\delta_{21}-1}; \quad (5)$$

$$\beta = c_2 \frac{I_{21}^{\delta_{21}} - I_{21}}{I_{21}^2 - I_{21}^{\delta_{21}}}, \quad (6)$$

где  $I_{21} = I_2/I_1$ ;  $\delta_{21} = \lg \frac{a_2^*}{a_1^*} / \lg \frac{I_2}{I_1}$ .

Полученные выражения позволяют по отношению интенсивностей излучения и скоростей накопления  $F$ -центров на прямолинейном участке второй стадии определять  $a^*/a$  и  $\beta/c$ , которые характеризуют степень преобладания процесса образования над процессом радиационного обесцвечивания  $F$ -центров на второй стадии. Значения  $\delta_{21}$ ,  $a_2^*/a_2$  и  $\beta/c_2$  при  $I_{21} = 1,5$  приведены в табл. 2.

Таблица 2

Значения  $\delta_{21}$ ,  $a_2^*/a_2$ ,  $\beta/c_2$  для кристаллов различного химического состава

	LiF	NaCl	KCl	KBr	NaBr	KI
$\delta_{21}$	1,01	1,08	1,29	1,42	1,68	0,70
$a_2^*/a_2$	1,00	0,93	0,75	0,63	0,36	—
$\beta/c_2$	1,008	0,07	0,32	0,60	1,78	—

Для всех исследованных кристаллов концентрация  $M$ -центров была пропорциональна квадрату концентрации  $F$ -центров в области небольших концентраций  $F$ -центров. Увеличение интенсивности излучения уменьшает эффективность превращения  $F \rightarrow M$  (рис. 3).

Как видно из рис. 1 и рис. 2, начиная с некоторой концентрации  $F$ -центров, прямолинейный участок кривой переходит в участок

с уменьшающейся скоростью накопления  $F$ -центров. Последнее связано с изменением скорости накопления  $M$ -центров.

Обсуждение кинетического уравнения накопления  $F$ -центров, предложенного в работе [5], показывает, что указанное уравнение необходимо усовершенствовать с учетом взаимопревращений  $F$ -центров и сложных электронных центров окраски.

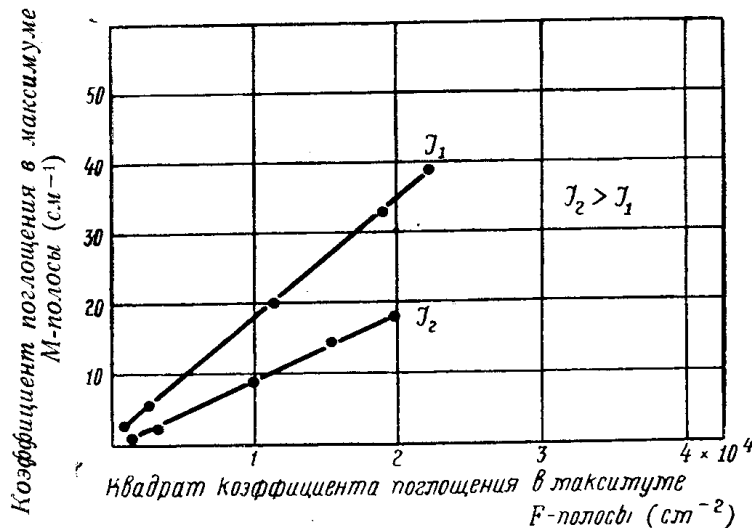


Рис. 3. Зависимость коэффициента поглощения в максимуме  $M$ -полосы от квадрата коэффициента поглощения в максимуме  $F$ -полосы для монокристаллов LiF, облученных протонным пучком различной интенсивности ( $J$ ).

В настоящей работе на монокристаллах LiF совместно исследовалась кинетика накопления  $F$ -центров и сложных электронных центров окраски при облучении протонами. В спектре поглощения облученных монокристаллов LiF наблюдались  $F$ ,  $M$ ,  $R_{323\text{мк}}$ ,  $R_{370\text{мк}}$  полосы и некоторая полоса, максимум которой с увеличением дозы сдвигалась от 622  $\text{мк}$  до 626  $\text{мк}$ , а полуширина увеличивалась от 0,29 до 0,42 эв. Условно мы будем обозначать данную полосу  $\Pi_{624}$ .

Данные по положению полос и их полуширине сведены в табл. 3.

Таблица 3  
Положение и полуширина полос поглощения в монокристаллах LiF, облученных протонами при комнатной температуре

Полосы поглощения	Положение максимума		Положение коротковолнового полумаксимума		Положение длинноволнового полумаксимума		Полуширина	
	$\text{мк}$	эв	$\text{мк}$	эв	$\text{мк}$	эв	минимальная эв	максимальная эв
$F$	249	4,97	229	5,42	267	4,64	0,78	0,815
$M$	445	2,784	4,31	2,875	460	2,69	0,18	0,20
$R_{323}$	323	3,84	—	—	—	—	—	—
$R_{370}$	370	3,35	355	3,49	385	3,22	0,27	0,295
$\Pi$	624	1,98	575	2,16	680	1,82	0,29	0,42

Для всех полос наблюдалось некоторое увеличение полуширины с ростом коэффициента поглощения в максимуме. Наибольшим это увеличение было для  $F$ -полосы, причем оно связано со смещением коротковолнового полумаксимума.

Согласно [10] уширение  $F$ -полосы обусловлено некоторым перекрыванием  $F$ -полосы соседними полосами, но главной его причиной является рост новых полос в области  $F$ -полосы, связанных со сложными электронными центрами окраски.

В процессе накопления  $F$ - и  $M$ -центров концентрация  $M$ -центров увеличивалась пропорционально квадрату концентрации  $F$ -центров (рис. 3)

$$n_M = \alpha_1 n_F^2. \quad (7)$$

Универсальность соотношения (7) относительно вида излучения проверена для рентгеновского  $\gamma$ -излучения и электронов [7, 8, 9] и в настоящей работе для протонов.

Согласно модели  $R$ -центров как  $F_3$ -центров [4] следует ожидать, что концентрации  $F$ -,  $M$ - и  $R$ -центров связаны соотношениями

$$n_R = \alpha_2 n_F^3, \quad (8)$$

$$n_R = \alpha_3 n_M^3 \quad (9)$$

Действительно, экспериментально полученная зависимость логарифма коэффициента поглощения в максимуме полосы  $R_{370\text{мкм}}$  от логарифма коэффициента поглощения в максимуме  $M$ -полосы выражалась прямой линией с наклоном 1,48, что подтверждает модель  $R_{370\text{мкм}}$ -центра как  $F_3$ -центра.

Согласно соотношениям (7), (8), (9) между формой кинетических кривых накопления  $F$ -,  $M$ - и  $R$ -центров должна существовать определенная связь, что подтверждается экспериментально (рис. 4),

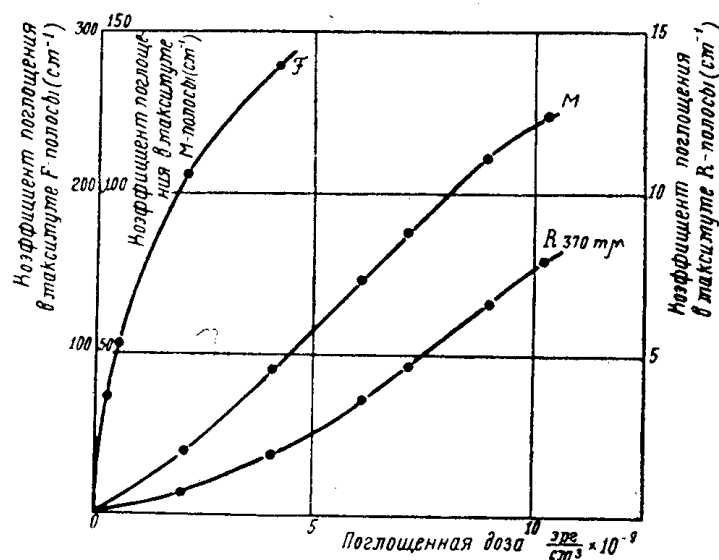


Рис. 4. Кинетические кривые накопления  $F$ -,  $M$ -,  $R$ -центров в монокристаллах  $\text{LiF}$  при облучении протонами.

Как видно из рис. 4, накоплению  $F$ -центров по линейному закону  $n_F \sim t$  соответствует накопление  $M$ -центров по закону  $n_M \sim t^2$ , а  $R$ -центров  $n_R \sim t^3$ ; накоплению  $M$ -центров по линейному закону соответствует

вует накопление  $F$ -центров по закону  $n_F \sim t^{\frac{1}{2}}$ , а  $R$ -центров  $n_R \sim t^{\frac{3}{2}}$ ; накоплению  $R$ -центров по линейному закону соответствует накопление  $F$ -центров по закону  $n_F \sim t^{\frac{1}{3}}$  и  $M$ -центров  $n_M \sim t^{\frac{2}{3}}$ .

Кинетику накопления  $F$ -центров на второй стадии, начиная с линейного участка, можно описать некоторой функцией времени облучения  $f(t)$ , построение которой основано на следующем.

1. Кинетическую кривую накопления  $F$ -центров можно разбить на участки

$$n_F = a_j t^{\frac{1}{j}}, \quad (10)$$

где  $j$  — относится к тому из сложных электронных центров типа  $F_j$ , накопление которого на данном участке происходит по линейному закону.

2. Кинетическая кривая накопления  $F$ -центров непрерывна относительно концентрации  $F$ -центров и ее первой производной по времени.

3. Вторая производная концентрация  $F_j$ -центров, где  $j = 1$  для  $F$ ,  $j = 2$  для  $M$ ,  $j = 3$  для  $R$ ,  $j = 4$  для  $N$ -центров, непрерывно уменьшается.

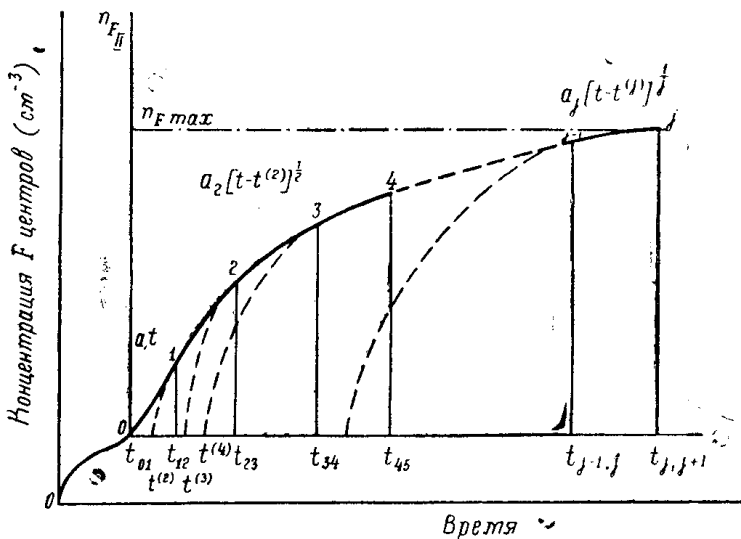


Рис. 5. Построение кинетической кривой накопления  $F$ -центров с учетом образования  $F_j$ -центров.

Построение функции иллюстрируется рис. 5.

$$f(t) \begin{cases} a_1 t & \text{при } t_{01} \leq t \leq t_{12} \\ a_2 [t - t^{(2)}]^{\frac{1}{2}} & \text{при } t_{12} \leq t \leq t_{23} \\ \dots & \dots \\ a_j [t - t^{(j)}]^{\frac{1}{j}} & \text{при } t_{j-1,j} \leq t \leq t_{j,j+1} \end{cases} \quad (11)$$

$a_1, a_2, a_3, \dots, a_j$  — некоторые константы, характеризующие скорость накопления  $F$ -центров на  $j$ -м участке кинетической кривой; они являются функциями условий облучения и химического состава;

$t_{12}, t_{23}, \dots, t_{j,j+1}$  — константы, характеризующие момент перехода от одного участка кинетической кривой к другому;

$t^{(2)}, t^{(3)}, \dots, t^{(j)}$  — геометрические вершины парабол соответствующих участков.

Исходя из начальных условий

$$n_{01} = 0; n_{FII}(t_{01}) = 0, \quad (12)$$

условий непрерывности  $f(t)$

$$a_j [t_{j,j+1} - t^{(j)}]^{1,j} = a_{j+1} [t_{j,j+1} - t^{(j+1)}]^{\frac{1}{j+1}}, \quad (13)$$

условий монотонности  $f(t)$

$$\frac{1}{j} a_j \left[ t_{j,j+1} - t^{(j)} \right]^{\frac{1}{j}-1} = \frac{1}{j+1} a_{j+1} \left[ t_{j,j+1} - t^{(j+1)} \right]^{\frac{1}{j+1}-1}, \quad (14)$$

получаем

$$t^{(j)} = \frac{1}{j} \sum_{n=2}^j t_{n-1,n}, \quad (15)$$

$$t_{j,j+1} = \frac{j^j}{(j+1)^j} \frac{a_{j+1}^{j(j+1)}}{a_j^{j(j+1)}} + \frac{1}{j} \sum_{n=2}^j t_{n-1,n}. \quad (16)$$

В общем случае  $a_1, a_2, a_3, \dots, a_j$  должны быть заменены на  $a_1^*, a_2^*, a_3^*, \dots, a_j^*$ , учитывающие радиационное обесцвечивание центров окраски и обратные превращения типа  $R \rightarrow M, M \rightarrow F$ .

Из вида функции  $f(t)$  следует, что концентрация  $F$ -центров должна стремиться к некоторому пределу, насыщаться.

Чтобы экспериментально проверить форму кинетической кривой, необходимо проследить накопление  $F$ -центров до концентраций более  $10^{19} \text{ см}^{-3}$ , то есть измерить концентрации  $F$ -центров, на порядок превышающие измеряемые оптическим способом.

Мы воспользовались тем, что глубина проникновения протонов в щелочно-галоидные монокристаллы, определяющая толщину окрашенного слоя, зависит от энергии протонов, и уменьшили энергию протонов алюминиевым фильтром так, что толщина окрашенного слоя стала  $30 \text{ мкм}$ , что позволило измерить коэффициент поглощения в максимуме  $F$ -полосы до  $2300 \text{ см}^{-1}$ .

Кинетические кривые накопления  $F$ - и  $M$ -центров представлены на рис. 3. Наблюдалось насыщение примерно при  $2,1 \cdot 10^{19} \text{ см}^{-3}$ , а затем уменьшение концентрации  $F$ -центров. Форма экспериментальной кривой удовлетворительно описывается функцией (8) до максимума.

Уменьшение концентрации  $F$ -центров при возрастании концентрации  $M$ -центров свидетельствует, что

1)  $a_1$  в выражении (7) является функцией дозы или времени облучения;

2) с увеличением дозы облучения происходит необратимый процесс, сдвигающий равновесие между  $F_j$ -центрами в сторону центров с большим  $j$ .

Как показал анализ [1], таким необратимым процессом может быть процесс смещения максимума распределения запасенной энергии излучения по кратностям локализации в сторону больших кратностей.

При совмещении двух и более элементарных объемов локализации энергии резко возрастает вероятность близкого расположения  $F$ -центров и, следовательно, коагуляции их в сложные центры.

Если предположить, что вероятность образования  $F$ -центра пропорциональна вероятности однократной локализации энергии [1]

$J\vartheta \exp(-J\vartheta)$ , а вероятность образования  $M$ -центров — вероятности двукратной локализации энергии  $\frac{1}{2}(J\vartheta)^2 \exp(-J\vartheta)$ , то эффективность  $F \rightarrow M$ , выражаемая коэффициентом  $\alpha_1$  из (7), пропорциональна

$$\alpha_1 \sim \exp(J\vartheta). \quad (17)$$

Выражение (17) характеризует зависимость  $\alpha_1$  от дозы. При малых дозах  $J\vartheta \ll 1$   $\alpha_1 \approx \text{const}$  (где  $J$  — число поглощенных протонов в единице объема), что и наблюдалось в работах [7, 8, 9] и в настоящей работе (рис. 3).

Если предположить, что вероятность образования  $R$ -центров пропорциональна вероятности трехкратной локализации энергии  $\frac{1}{6}(J\vartheta)^3 \exp(-J\vartheta)$ , то эффективность реакции  $M \rightarrow R$ , характеризуемая  $\alpha_2$  из (8), пропорциональна

$$\alpha_2 \sim \exp(J\vartheta/2). \quad (18)$$

Эффективность коагуляции  $F$ -центров в сложные центры возрастает с ростом дозы, и этот необратимый процесс может привести к уменьшению концентрации  $F$ -центров, а затем  $M$ - и  $R$ -центров после прохождения максимума.

Наблюдаемый ход кинетической кривой накопления  $F$ -центров можно описать следующим уравнением:

$$n_F = n^* [1 - \exp(-b^* t)] - (a^*/c^* - n') [1 - \exp(-c^* t)] + \\ + \exp(-t/\tau) \left( a_1^* t + \frac{a_2^* t^2}{2} + \frac{a_3^* t^3}{6} + \frac{a_4^* t^4}{24} \right). \quad (19)$$

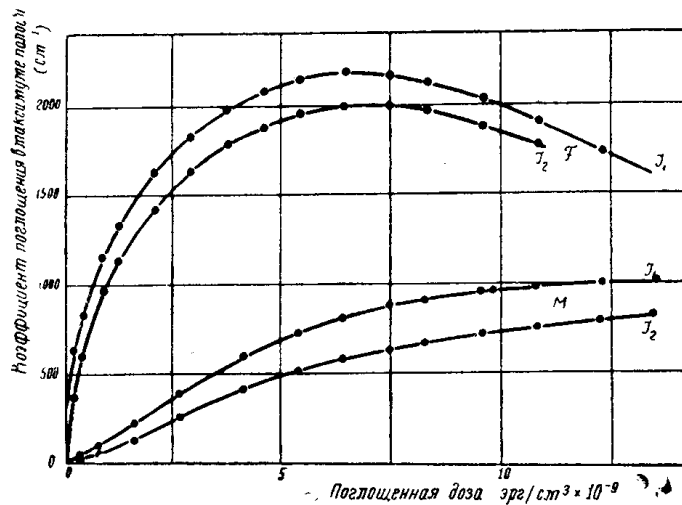


Рис. 6. Кинетические кривые накопления  $F$ - и  $M$ -центров в монокристаллах  $\text{LiF}$  при облучении пучком протонов различной интенсивности ( $J$ ).

Характеристическое время  $\tau$  связано с химическим составом через элементарный объем локализации энергии  $\vartheta$  [1].

$$\tau = \frac{\chi}{J_0 \vartheta}, \quad (20)$$

где  $z$  — глубина проникновения протонов в (см),  $j_0$  — интенсивность протонного пучка в  $\left( \frac{\text{протон}}{\text{см}^2 \text{ сек}} \right)$ .

Константы  $a_2^*$ ,  $a_3^*$ ,  $a_4^*$  учитывают эффективность превращения  $M, R, N \rightarrow F$ ;  $N, R \rightarrow M$ ;  $N \rightarrow R$  и обратных превращений  $M, R, N \rightarrow F$ ;  $N, R \rightarrow M$ ,  $N \rightarrow R$ . Для определения  $a_2^*$ ,  $a_3^*$ ,  $a_4^*$  необходимы дополнительные эксперименты.

#### ЛИТЕРАТУРА

1. Д. И. Вайсбурд. Настоящий сборник. стр. 13.
  2. F. E. Williams, Phys. Rev. **126**, 70 (1962). R. E. Howard, S. Vosko, and R. Smoluchowski, Phys. Rev. **122**, 1406 (1961).
  3. W. Käenzig, I. Phys. Chem. Solids **17**, 88 (1960).
  4. H. Pick, Z. Physik **159**, 69 (1960).
  5. P. V. Mitchell, D. A. Wiegand, and R. Smoluchowski, Phys. Rev. **121**, № 2, 484 (1961).
  6. E. Abramson and M. E. Caspary, Phys. Rev. **129**, № 2, 536 (1963).
  7. W. A. Sibley and E. Sonder, Phys. Rev. **128**, № 2, 540 (1962).
  8. E. Sonder and W. A. Sibley, Phys. Rev. **129**, № 4, 1578 (1963).
  9. B. J. Faraday, H. Rabin, W. D. Compton, Phys. Rev. Letters **7**, № 2, 57 (1961).
  10. J. D. Konitzer and J. J. Markham, Phys. Rev. **107**, № 3, 685 (1957).
-